

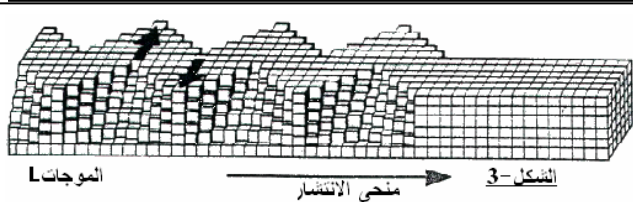
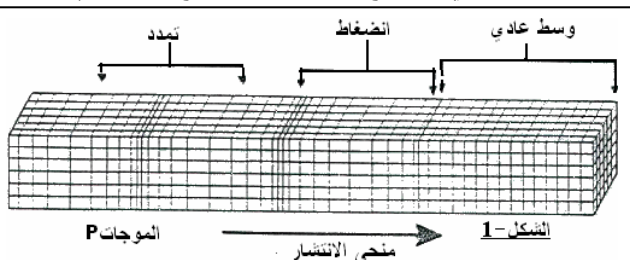
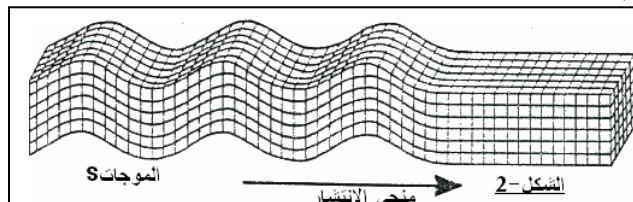


الفقراء-1-(8نقط)

الجزء الأول: الموجات الزلزالية الطبيعية

(1) عند حدوث زلزال أرضي، تهتز الأرض تحت تأثير الموجات الزلزالية التي تصنف إلى عدة أنواع، ذكر من بينها:

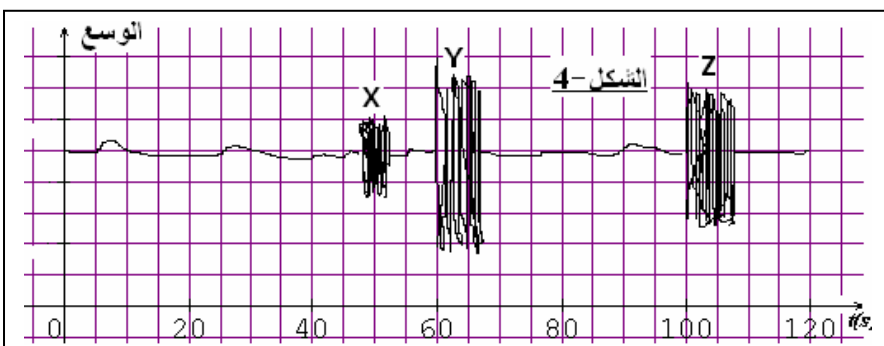
- ✓ الموجات P تکبس الصخور وتمددتها بالتعاقب (الشكل-1). وهي موجات سريعة وتلائية الأبعاد.
- ✓ الموجات S تفرض الصخور جانبياً في الاتجاه العمودي على اتجاه انتشارها (الشكل-2). وهي أقل سرعة من الموجات P وتلائية الأبعاد أيضاً.
- ✓ الموجات L تجعل الأرض في اهتزاز أفقياً من جانب إلى آخر، في الاتجاه العمودي على اتجاه انتشارها (الشكل-3). وهي الأسرع، تنتشر على سطح الأرض (ثانية الأبعاد).



1-1. حدد معلماً جوابك الموجة المستعرضة والموجة الطولية، بالنسبة لكل موجة من الموجات السابقة.

1-2. ذكر مثلين آخرين لموجتين ميكانيكيتين، أحدهما مستعرضة والأخرى طولية.

(2) تمثل وثيقة الشكل-4 تسجيل هزة أرضية حدثت في جماعة أتركي بإقليم أزيلال في شهر غشت من سنة 2010. أنجز التسجيل من طرف محطة الرصد بالمعهد الوطني للجيوفيزياء، ويضم دفعات من الموجات الزلزالية X وY وZ. تعتبر لحظة بداية الهزّة الأرضية في جماعة أتركي (مركز الزلزال) أصلًا للتاريخ $t=0$.



2-1. من خلال الوثيقة حدد صنف الموجة المافق لكل من الدفعات X وY وZ. علل جوابك

2-2. علماً أن بداية الهزّة سُجلت بمحطة الرصد على الساعة $19h46min02s$ ، حدد الساعة

على التي بدأت فيها الهزّة الأرضية بمركز الزلزال.

3) تمثل وثيقة الشكل-5 تغيرات المسافة d المقطوعة من طرف الموجات L بدلاله الزمن t .

3-1- أوجد المسافة D التي تفصل مركز الزلزال عن محطة الرصد.

3-2- استنتج السرعة المتوسطة لانتشار الموجات P، ثم السرعة المتوسطة لانتشار الموجات S.

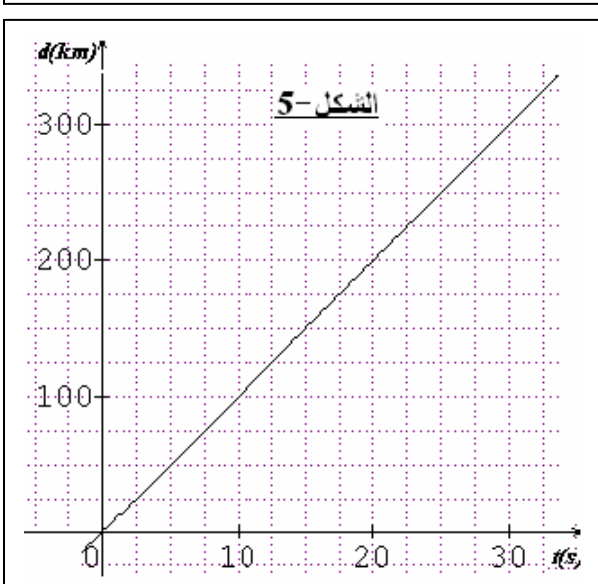
الجزء الثاني: الكشف عن وجود حقول جوفية للنفط

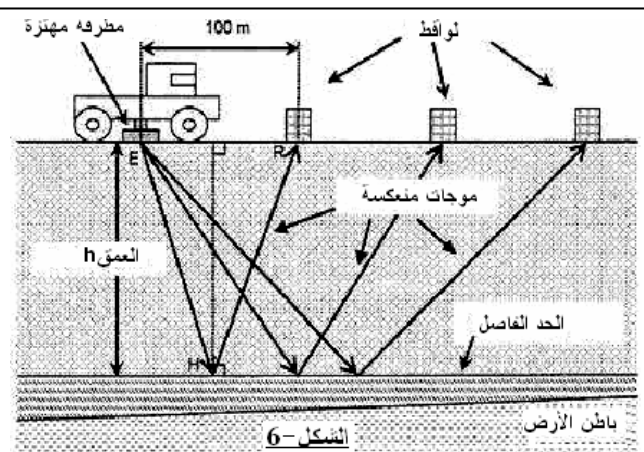
بواسطة شاحنة مزودة بمطرقة مهترئة كتلتها 2500kg ، تقرع سطح الأرض دورياً بتردد $N=14\text{Hz}$ ، يحدث دفعات متتالية لموجة زلزالية

(الشكل-6). يمكن توظيف هذه الموجات للكشف عن وجود حقول نفطية في باطن الأرض، عن طريق قياسات غير مباشرة ترتكز على تسجيل الأداء المتربطة عن انتشار الموجات الزلزالية في باطن الأرض. تتولد هذه الأصداء بسبب عدم تجانس الطبقات الأرضية الباطنية. فعلى سبيل المثال يصاحب انتقال الموجة من طبقة طينية إلى طبقة رملية انعكاس قابل للرصد من طرف أجهزة خاصة مثبتة على سطح الأرض. علماً أن الطبقات الرملية تشكل ملجاً طبيعياً لبعض المواد الهيدروكريوبورية. وهذا ما يجب التأكد منه باستعمال تقنية الحفر.

(1) أحسب طول الموجة λ للموجة الزلزالية المحدثة علماً أن سرعة انتشارها في الطبقة الأرضية الأولى التي تعتبرها متجانسة هي

$$V=6,2\text{Km/s}$$





2) تم رصد الموجة المنعكسة على الحد الفاصل بين الطبقات الأولى والطبقات التي تليها من طرف اللافت R بعد مرور 580ms عن لحظة انبعاث الموجة الواردة من المطرقة المهترة. أوجد قيمة العمق للطبقة الأرضية الأولى.

نعتبر أن $h \approx EH$, حيث EHR ضلع المثلث.

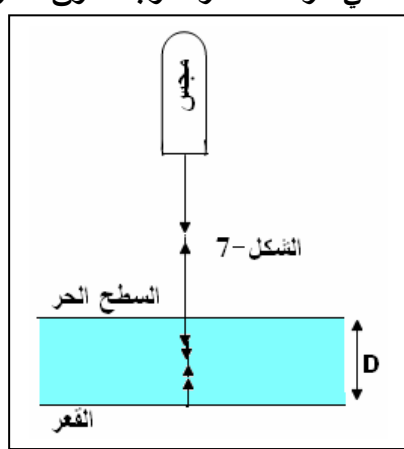
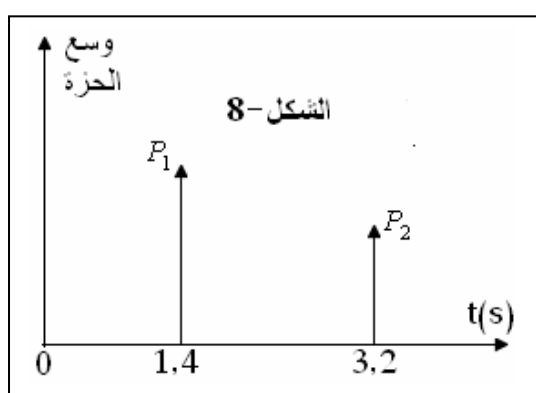
الجزء الثالث: تحديد سمك طبقة جوفية من النفط

تستعمل لهذا الغرض تقنية الكشف بالصدى التي توظف فيها الموجات فوق الصوتية. في لحظة $t=0$ يرسل مجس جهاز الكشف بالصدى إشارة فوق صوتية مدتها جد وجيبة، عمودياً على السطح الحر لطبقة، ينعكس على هذا السطح جزء من الإشارة الواردة، في حين ينتشر الجزء الآخر في الطبقة النفطية لينعكس مرة أخرى على قعر هذه الطبقة (الشكل-7).

يكشف المجس عند اللحظة t_1 عن الحزة P_1 الموافقة للإشارة

المنعكسة على سطح الطبقة النفطية، وعند اللحظة t_2 عن الحزة P_2 الموافقة للإشارة المنعكسة على قعر هذه الطبقة. تمثل وثيقة الشكل-8 مخططي الحزتين الموافقتين للإشارتين المنعكستين.

أوجد قيمة D سمك الطبقة النفطية. نعطي سرعة انتشار الموجات فوق الصوتية في النفط الخام $V=1,4\text{Km/s}$.



الفقراء-11-(5نقط)

نجز بواسطه شق عرضه a قابل للضيغط، يوجد بصفحة معتمة وضعت أمام منبع ضوئي لضوء أحادي اللون طول موجته في الهواء λ_0 (الشكل-1). نشاهد على شاشة رأسية توجد على مسافة $D=2,5\text{m}$ من الشق، بقعاً توسطها بقعة مركزية عرضها L . نقى L بالنسبة

لقيم مختلفة a . تمكن النتائج المحصلة من خط المنحنى $L=f(a)$ (الشكل-2).

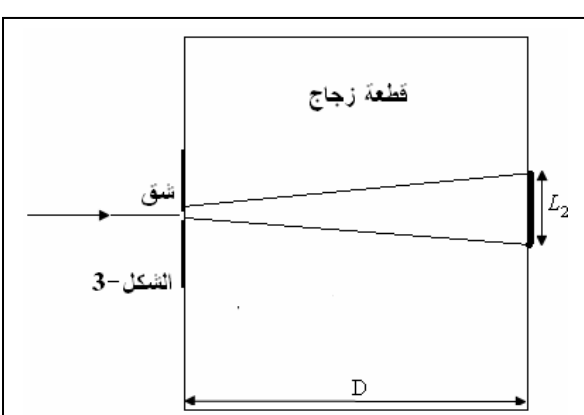
(1) وفق أي محور توجد أشكال الحيوان المشاهدة، المحور xx' أم المحور yy' ? علل جوابك.

(2) بالنسبة لقيمة معينة لعرض الشق نحصل على بقعة مركزية عرضها $L_1=18\text{mm}$. أوجد قيمة طول الموجة λ للضوء الأحادي اللون المستعمل في الهواء.

(3) نحتفظ بالقيمة السابقة لعرض الشق ونضع بين الصفيحة والشاشة قطعة زجاج على شكل متوازي المستويات، معامل انكساره بالنسبة لضوء الأحادي اللون المستعمل هو n . نلاحظ أن عرض البقعة المركزية المشاهدة على شاشة ملتصقة بالوجه الرأسي لقطعة الزجاج هو $L_2=11,1\text{mm}$ (الشكل-3).

أوجد تعبير معامل الانكسار n بدلالة L_1 و L_2 . أحسب قيمته.

نعتبر أن قيمة طول الموجة لضوء الأحادي اللون المستعمل في الهواء، تساوي تقريراً قيمتها في الفراغ.



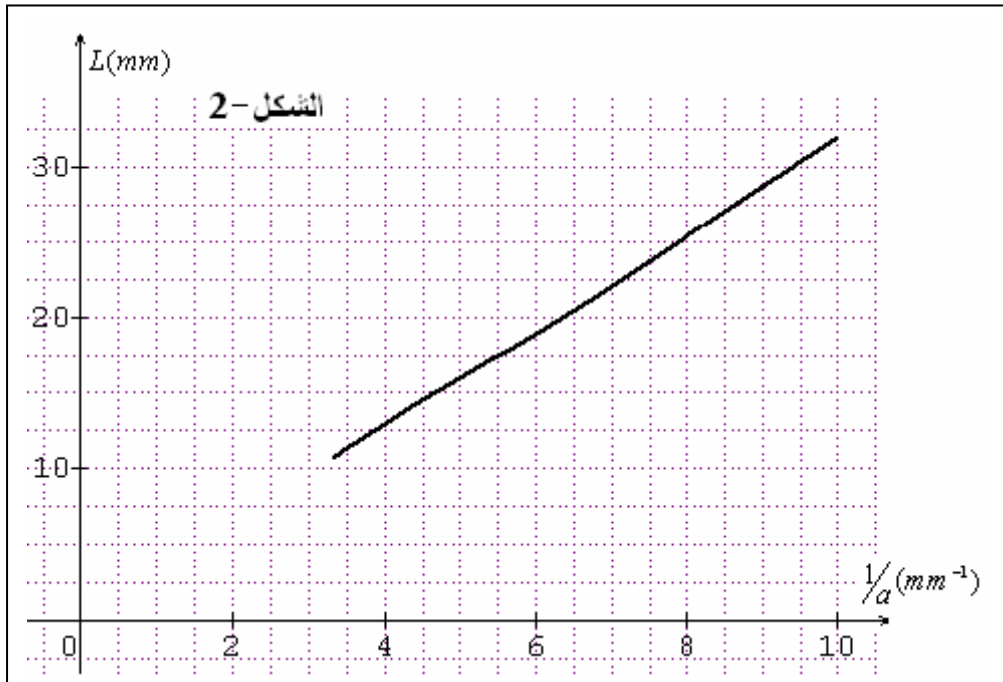
0.75

1.25

1.5

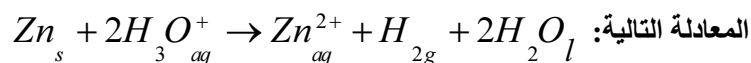
1.5

2



الكماء (7 نقاط)

يتفاعل الزنك Zn مع محلول حمض الكبريتيك (H_2SO_4) فتنتج أيونات الزنك Zn^{2+} وغاز ثاني الهيدروجين H_2 حسب



لدراسة التتبع الزمني لهذا التفاعل ننجز التركيب التجريبي الممثل في وثيقة الشكل-1. عند لحظة $t=0$ نضيف $L = 75 \text{ mL}$ من محلول حمض

الكبريتيك تركيزه من أيونات H_3O^{+} هو $0,40 \text{ mol.L}^{-1}$ في دورق

محكم السد، يحتوي على $0,50 \text{ g}$ من مسحوق الزنك.

نعتبر أن جميع القياسات تمت عند درجة حرارة ثابتة وفي حجم ثابت.

نذكر بمعادلة الحالة للغازات الكاملة: $PV = nRT$.

ونعطي الكتلة المولية للزنك: $M(Zn) = 65,4 \text{ g.mol}^{-1}$.

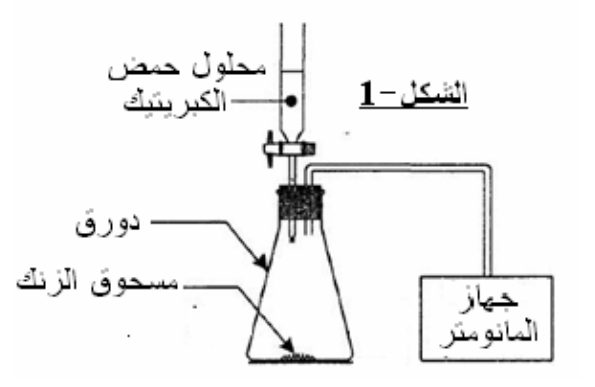
عند لحظة $t=0$ يشير جهاز المانومتر إلى القيمة $P_0 = 1020 \text{ hPa}$

(الضغط الجوي). خلال تطور المجموعة يحدث غاز ثاني الهيدروجين

المكون زيادة في الضغط داخل الدورق بالإضافة إلى الضغط الجوي. يسجل جهاز المانومتر في كل لحظة t قيمة الضغط P داخل الدورق.

تمكن هذه الدراسة من خط المنحنى الذي يمثل تغيرات الضغط P بدلالة الزمن t (الشكل-2).

(1) أتم الجدول الوصفي أسفله. حدد التقدم الأقصى x_{\max} للتفاعل والمتفاعله المحددة.



الشكل-1

1.5

معادلة التفاعل		$Zn_s + 2H_3O^{+} \rightarrow Zn^{2+} + H_{2g} + 2H_2O_l$					
حالة المجموعة	التقدم بـ (mol)	كميات المادة بـ (mol)					
الحالة البدئية	0	$n_i(Zn)$	$n_i(H_3O^+)$				
خلال التحول	x						
الحالة النهائية	x_{\max}						

(2) أوجد تعبير التقدم x للتفاعل عند لحظة t بدلالة V و R و T مع P_0 الضغط المقاس عند لحظة $t=0$ و P الضغط المقاس عند لحظة t .

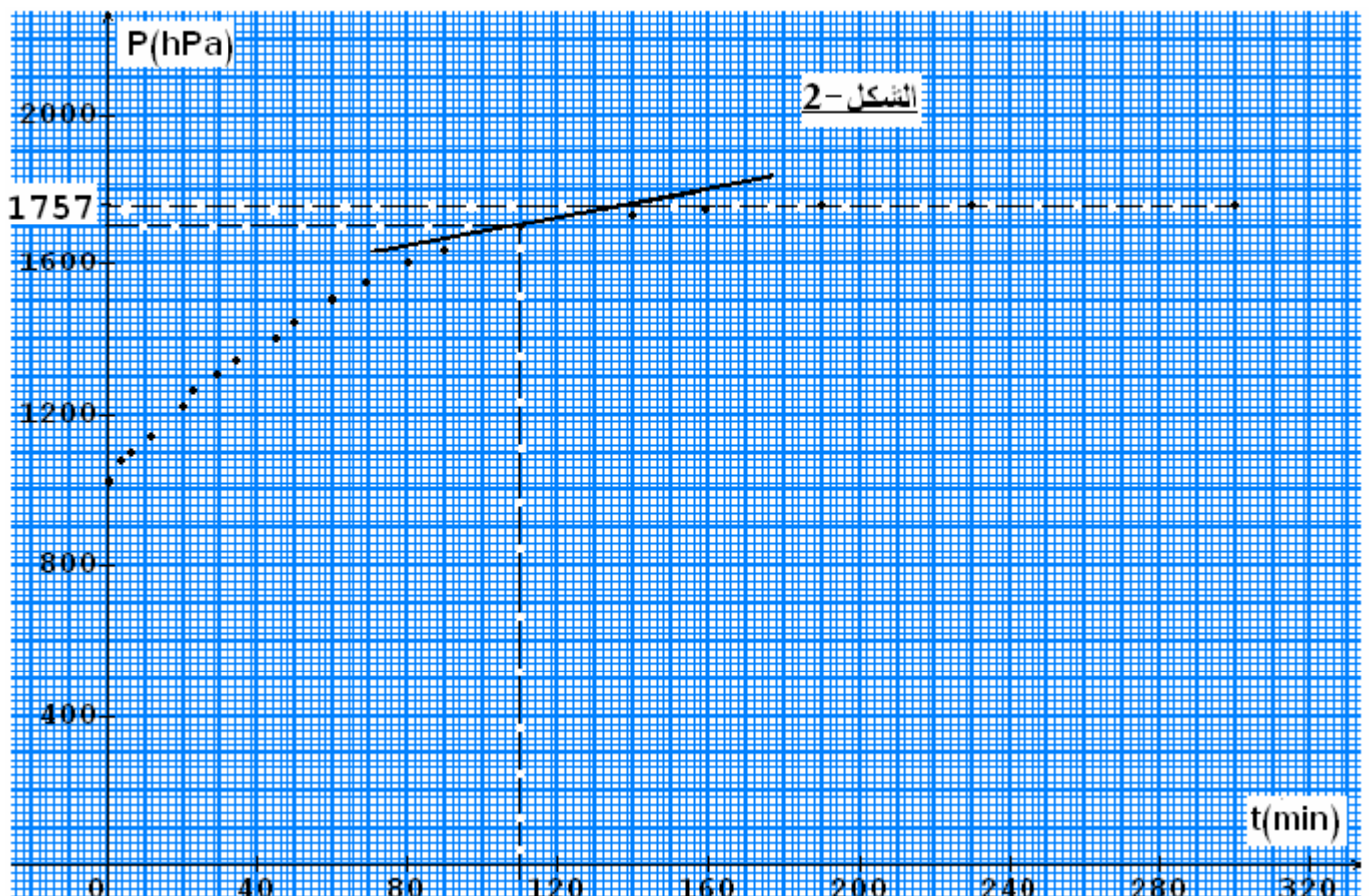
0.75

3) ليكن x_{\max} التقدم الأقصى للتفاعل و P_{\max} الضغط الأقصى عند نهاية التفاعل، أثبت العلاقة التالية:

$$x = x_{\max} \cdot \frac{P - P_0}{P_{\max} - P_0}$$

4) بالاستعانة بمنحنى الشكل-2 عين السرعة الحجمية للتفاعل عند اللحظة $t=110\text{min}$

5) أوجد زمن نصف التفاعل $t_{\frac{1}{2}}$



فضاء (الرياضيات بالثانوي)